Anexo:

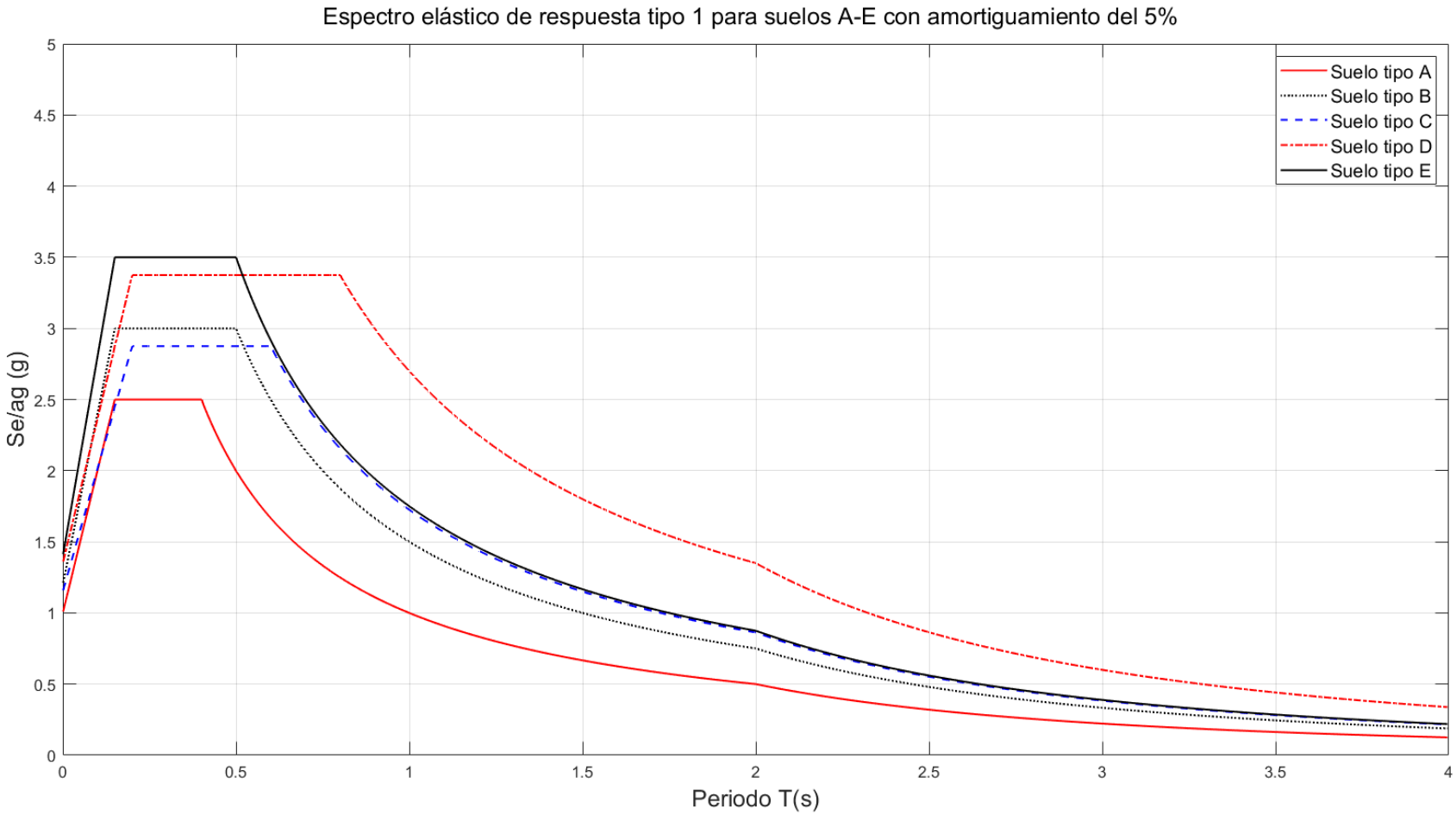

Figura Anexo 1: Espectros elásticos de respuesta el caso EC08-1 y suelos tipo A, B, C, D y E con un amortiguamiento del 5%

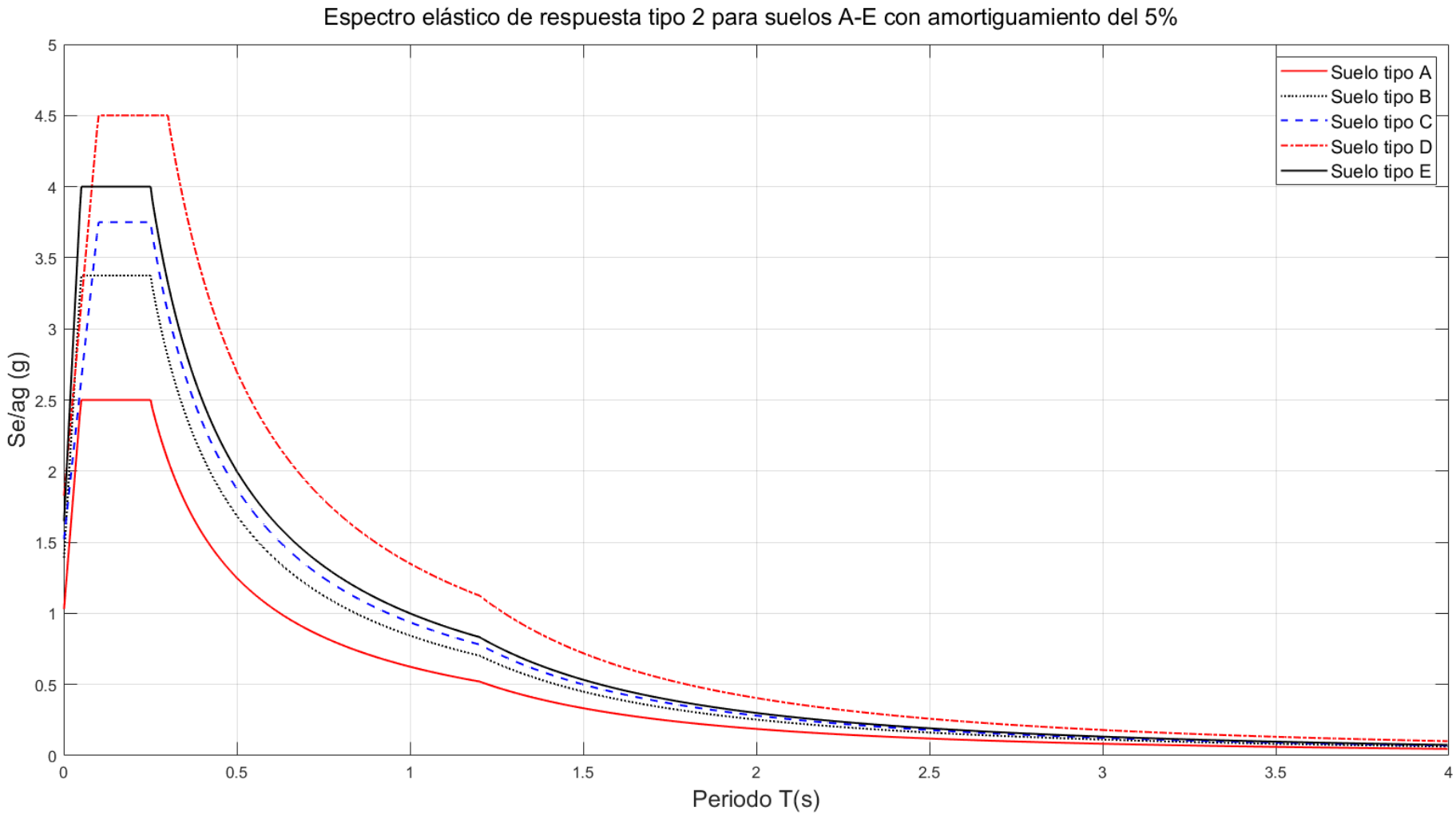

Figura Anexo 2: Espectros elásticos de respuesta el caso EC08-2 y suelos tipo A, B, C, D y E con un amortiguamiento del 5%

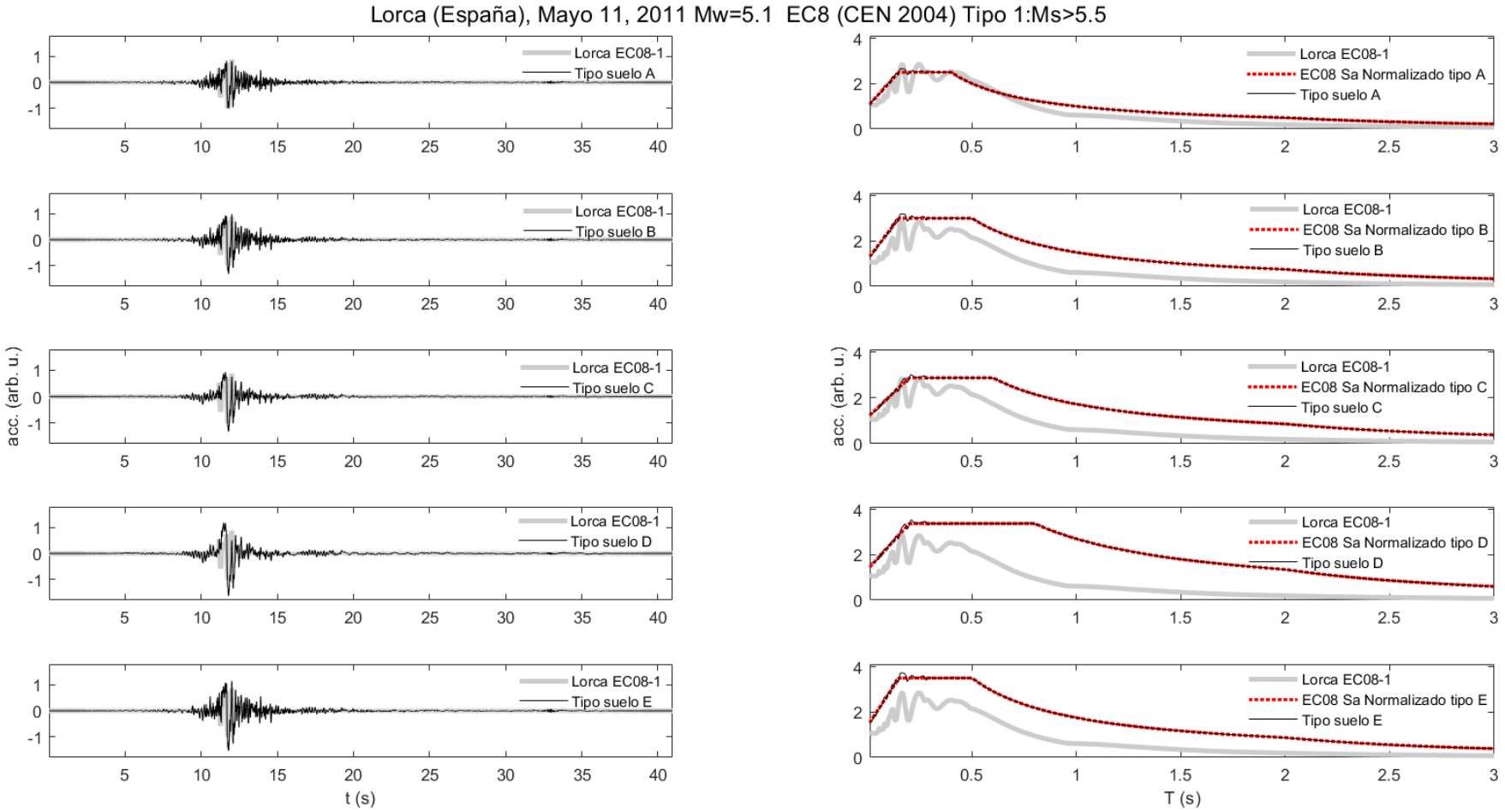

Figura Anexo 3: Resultados del ajuste Espectral realizado para el acelerograma de Lorca para el caso EC08-1 y suelos tipo A, B, C, D y E

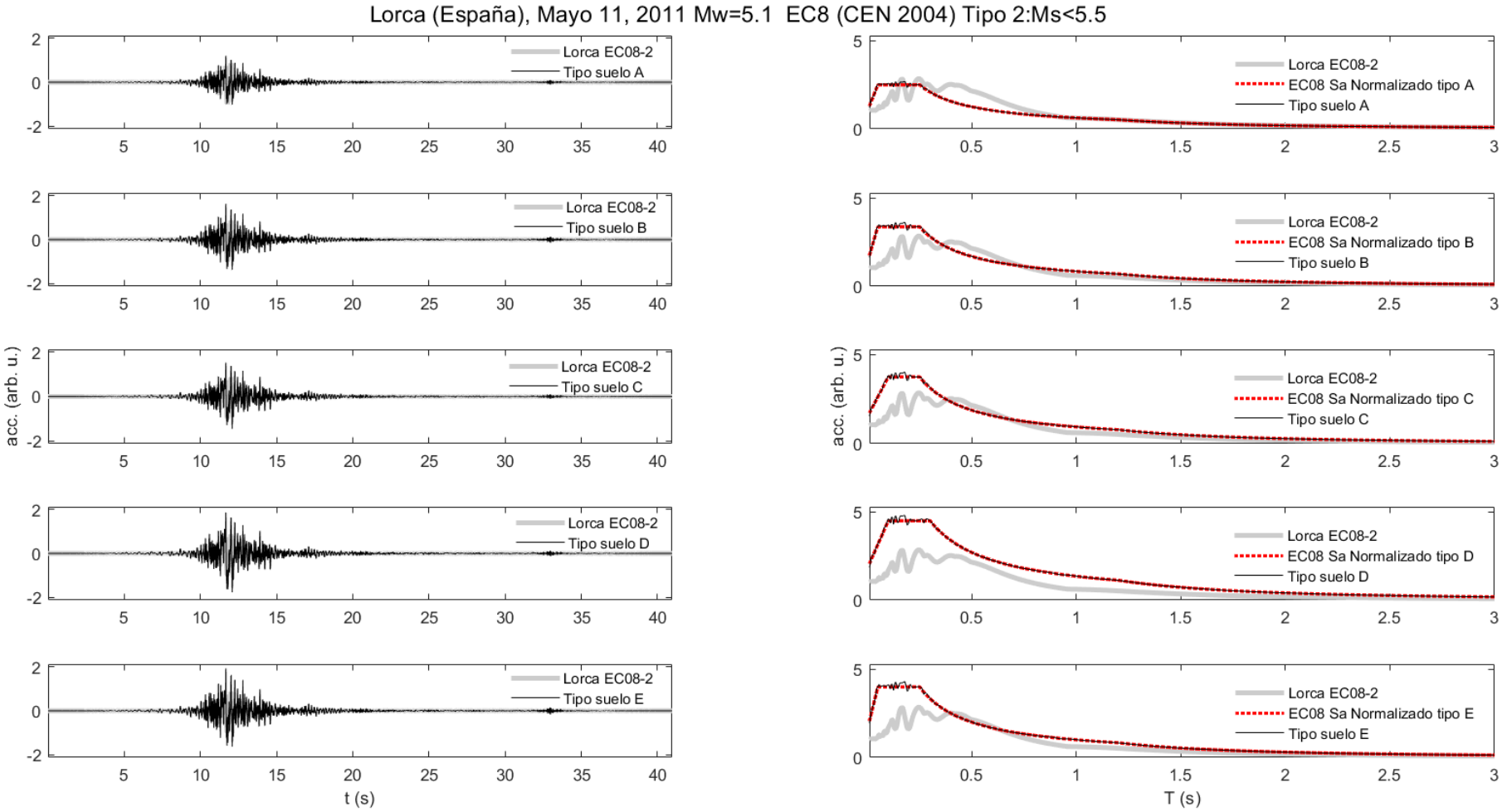

Figura Anexo 4: Resultados del ajuste Espectral realizado para el acelerograma de Lorca para el caso EC08-2 y suelos tipo A, B, C, D y E

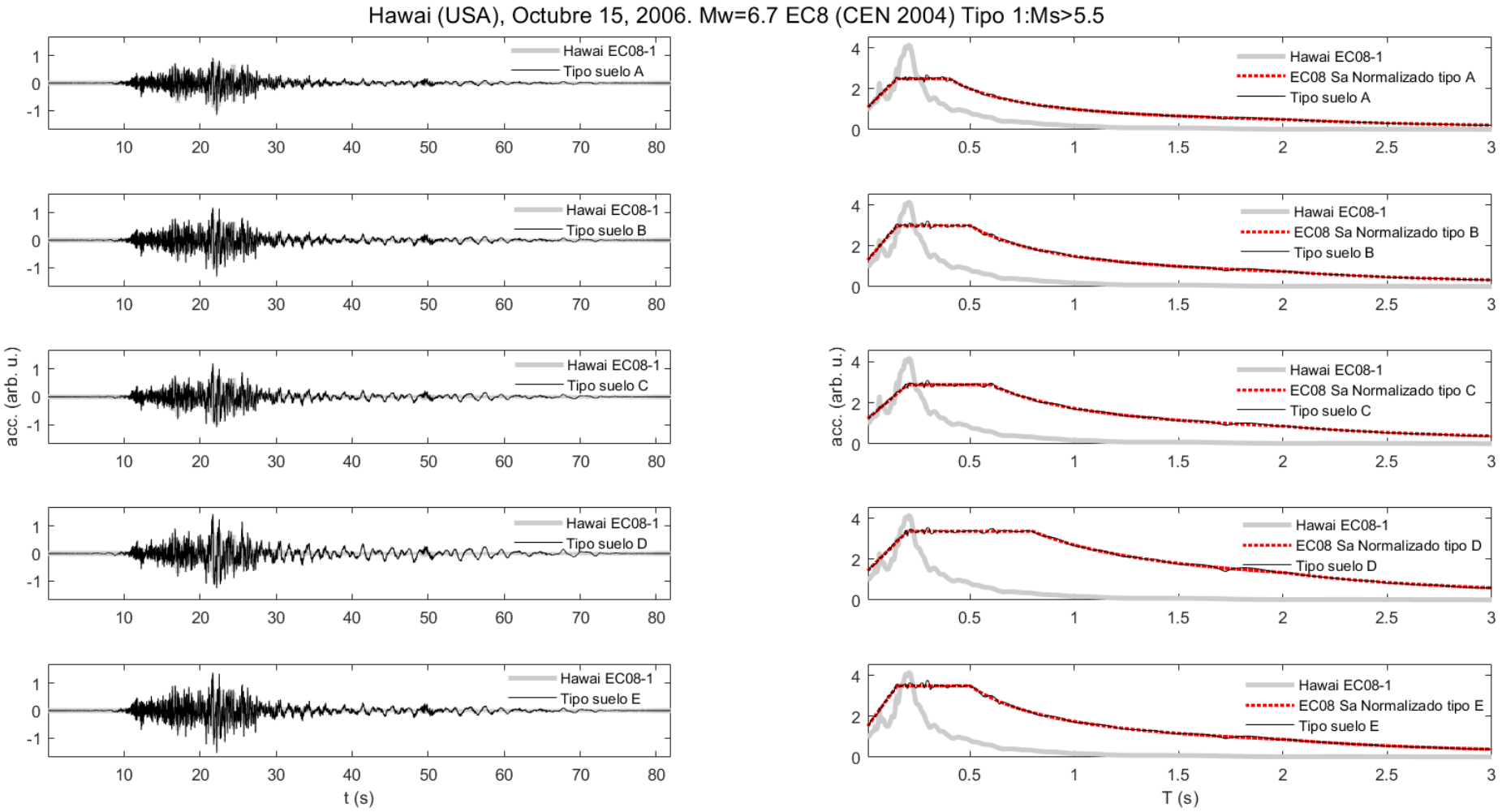

Figura Anexo 5: Resultados del ajuste Espectral realizado para el acelerograma de Hawái para el caso EC08-1 y suelos tipo A, B, C, D y E

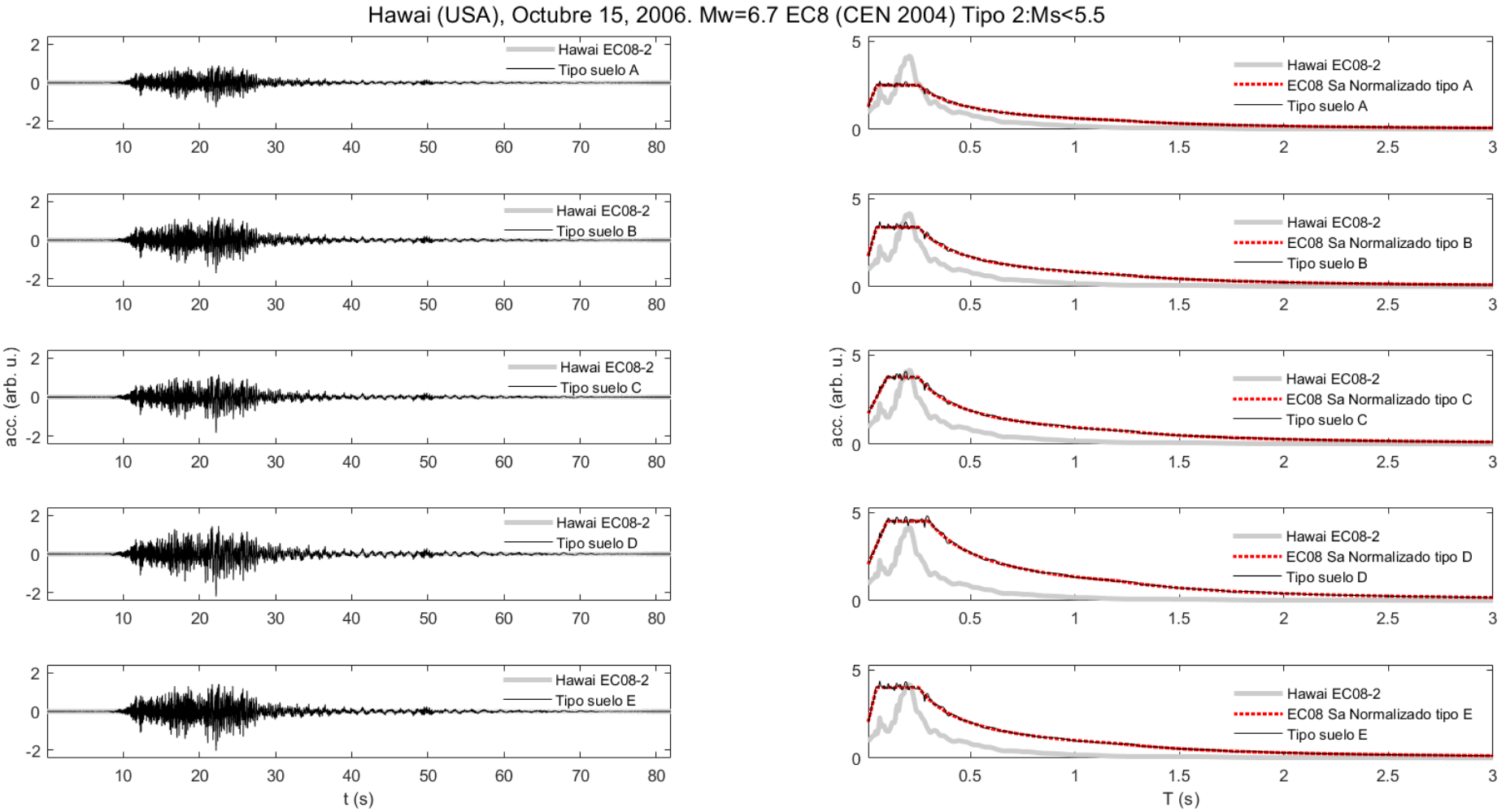

Figura Anexo 6: Resultados del ajuste Espectral realizado para el acelerograma de Hawái para el caso EC08-2 y suelos tipo A, B, C, D y E

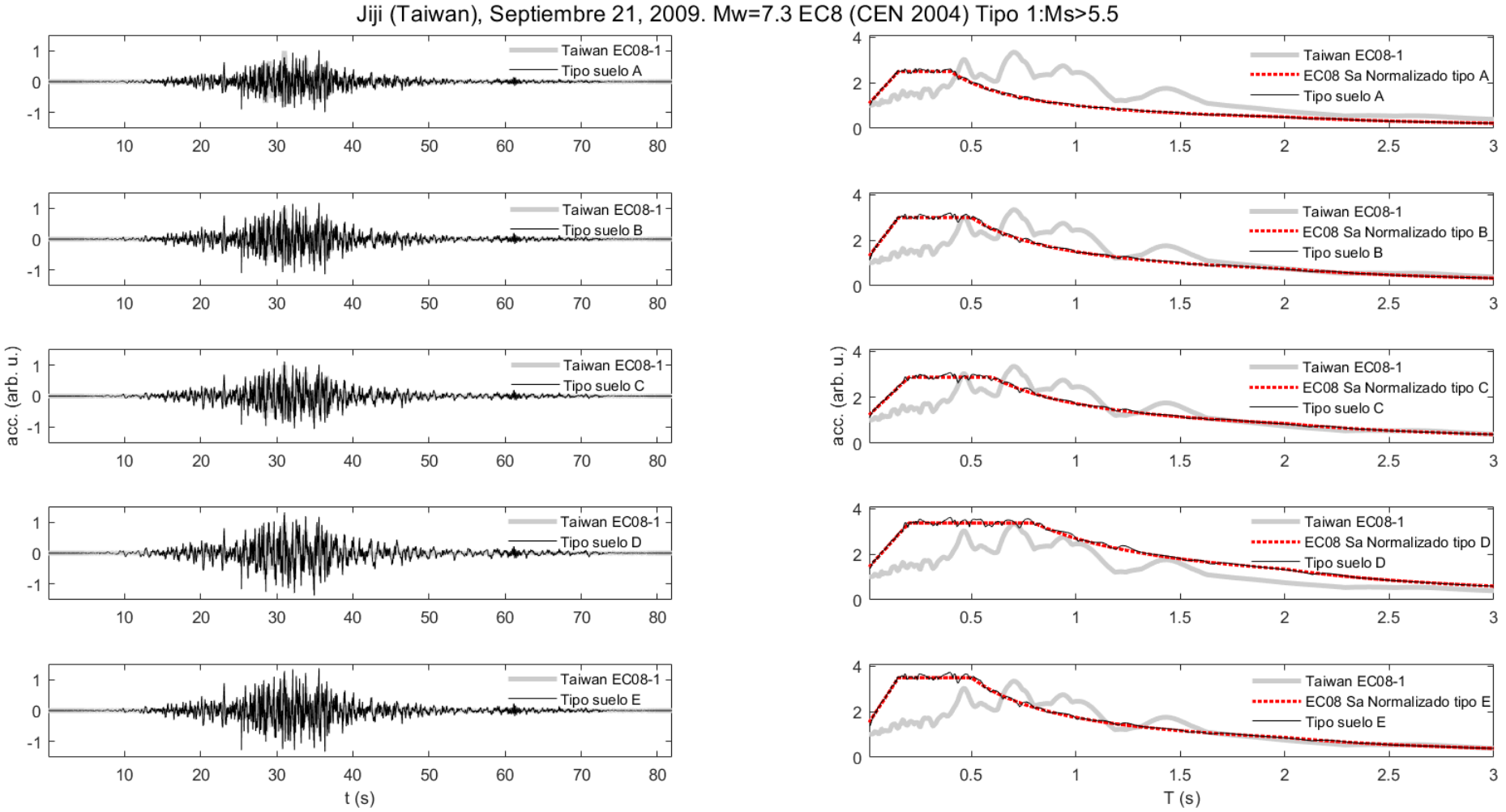

Figura Anexo 7: Resultados del ajuste Espectral realizado para el acelerograma de Taiwán para el caso EC08-1 y suelos tipo A, B, C, D y E

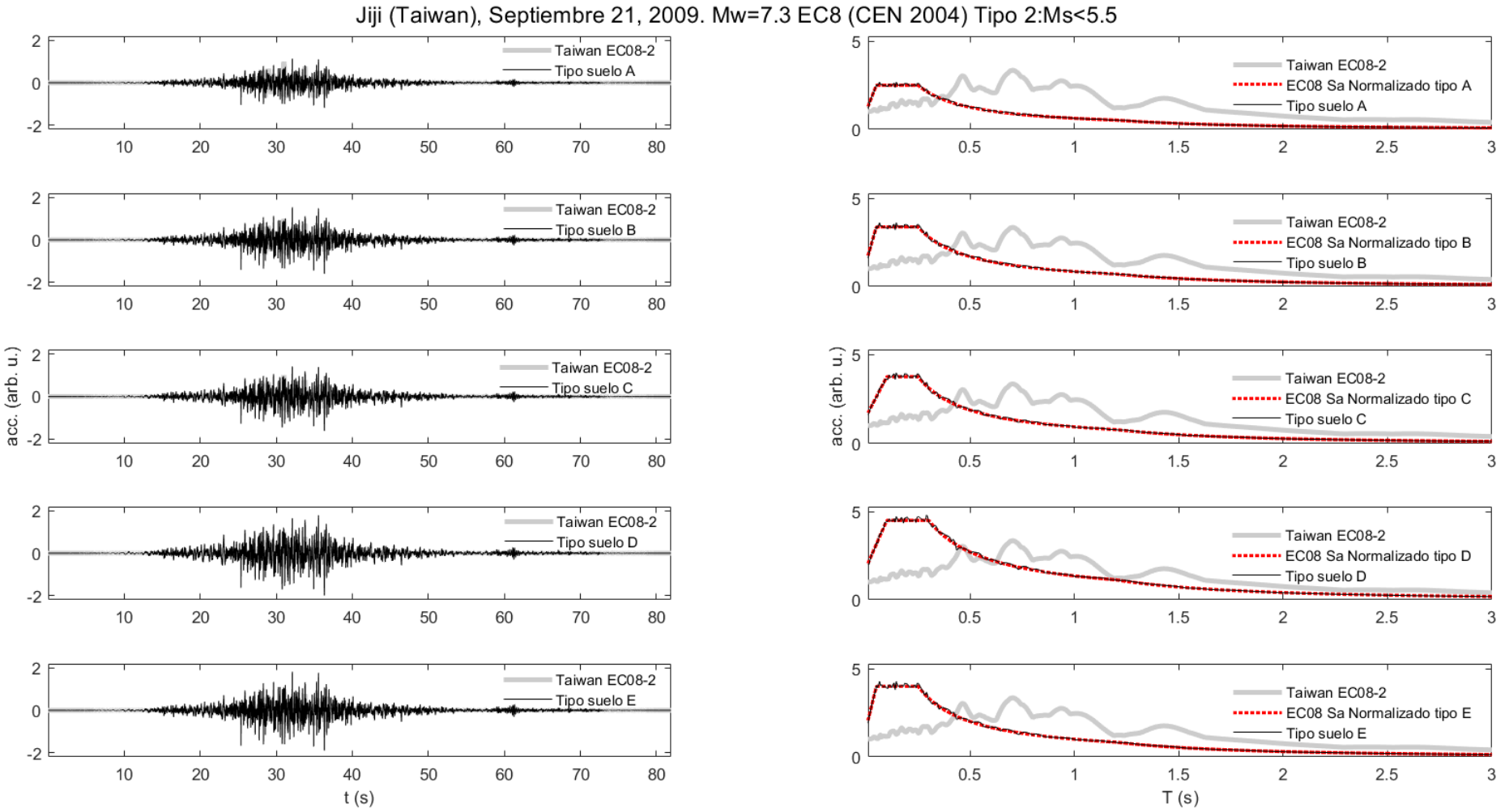

Figura Anexo 8: Resultados del ajuste Espectral realizado para el acelerograma de Taiwán para el caso EC08-2 y suelos tipo A, B, C, D y E

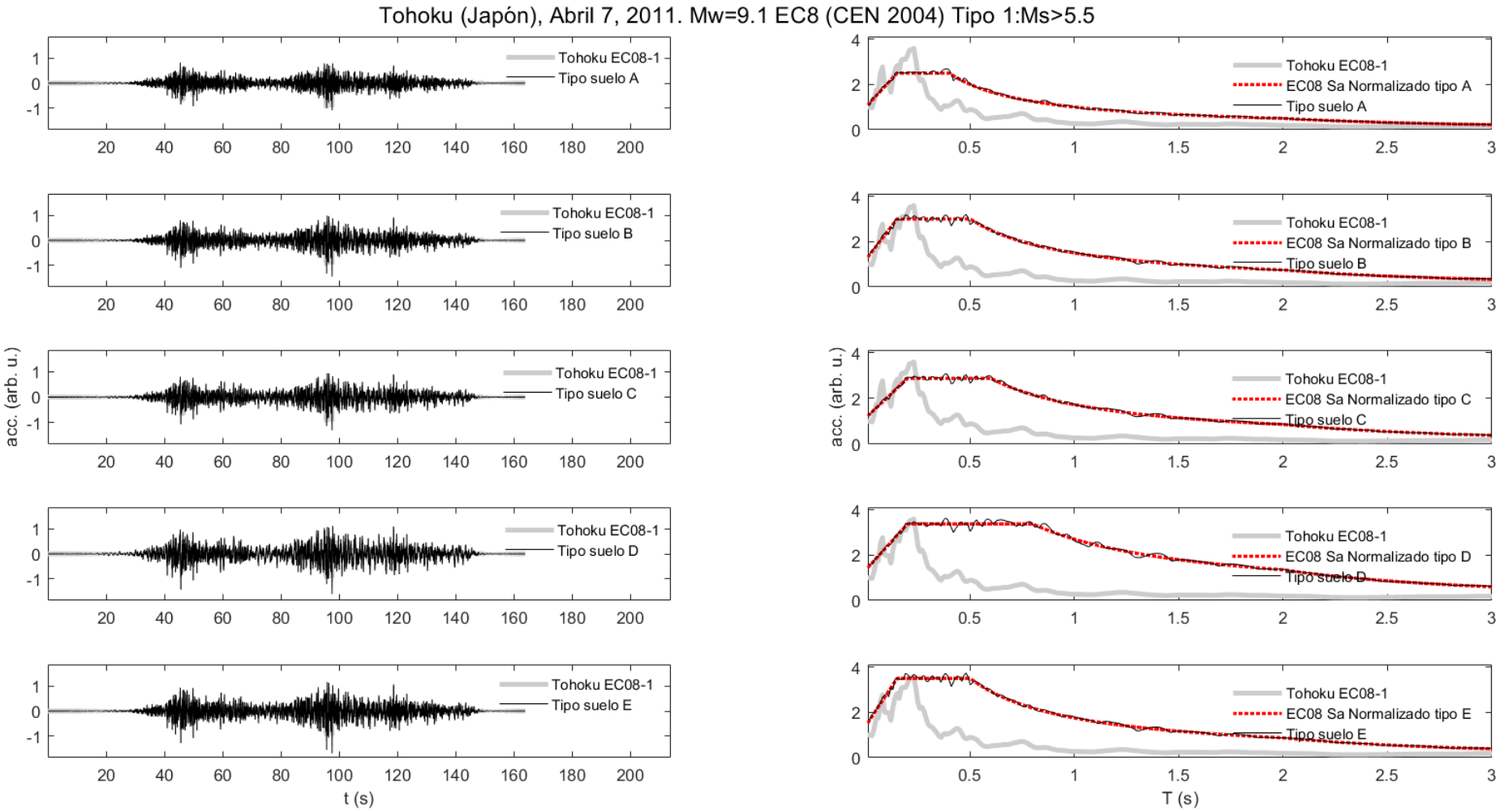

Figura Anexo 9: Resultados del ajuste Espectral realizado para el acelerograma de Tohoku para el caso EC08-1 y suelos tipo A, B, C, D y E

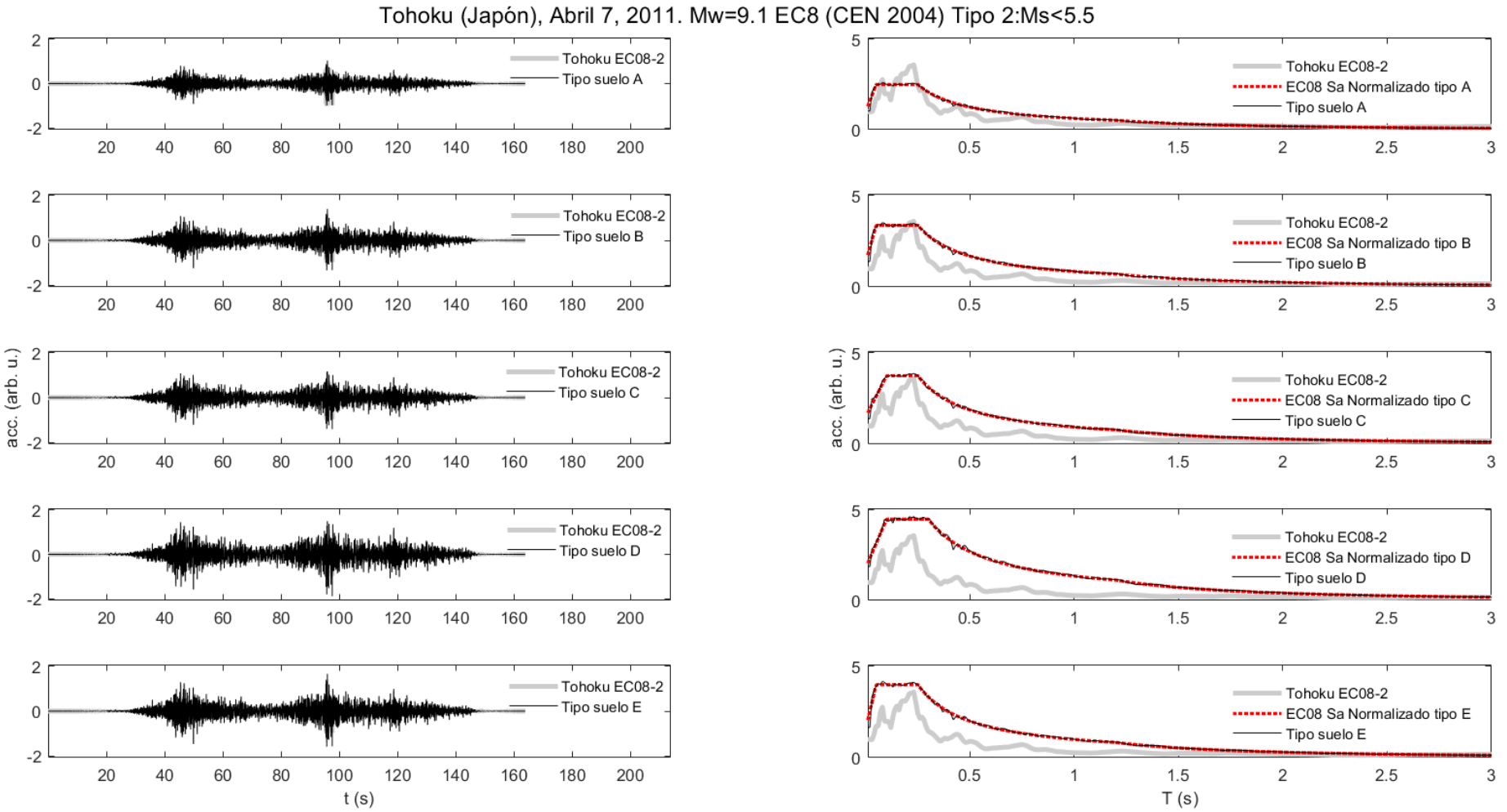

Figura Anexo 10: Resultados del ajuste Espectral realizado para el acelerograma de Tohoku para el caso EC08-2 y suelos tipo A, B, C, D y E

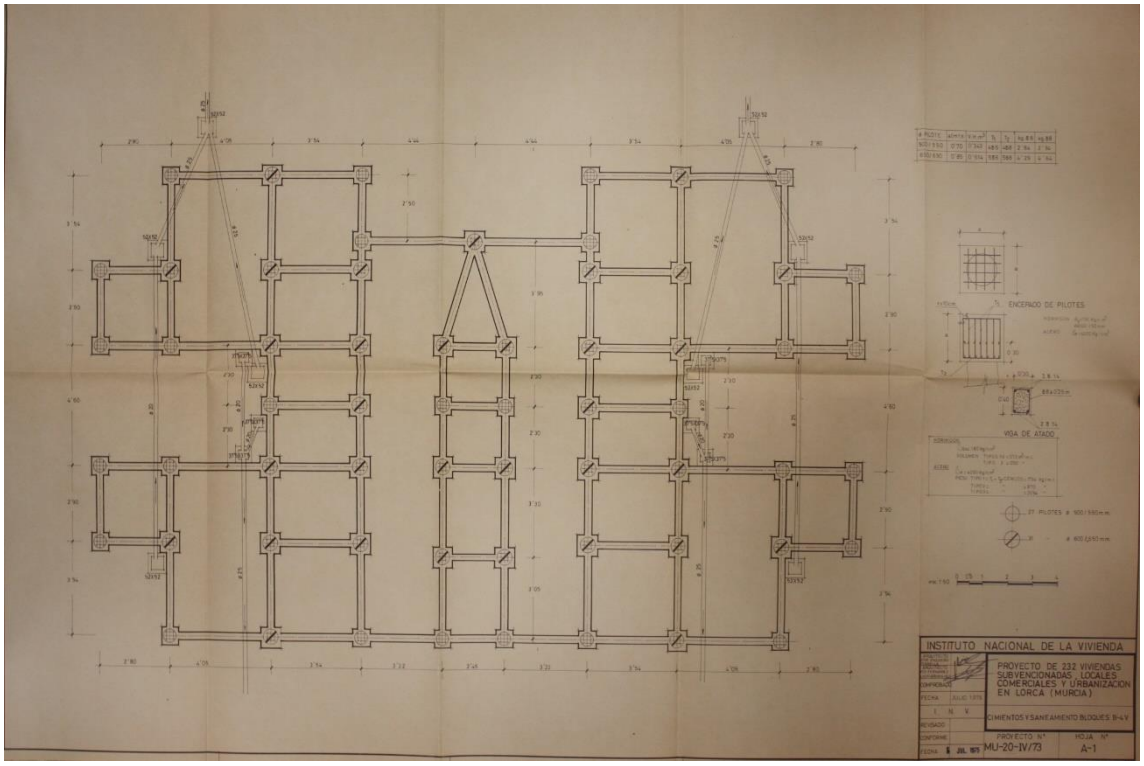

Figura Anexo 11: Plano de cimentación del bloque 11 de San Fernando (Fuente: Ministerio de la Vivienda, 1973)

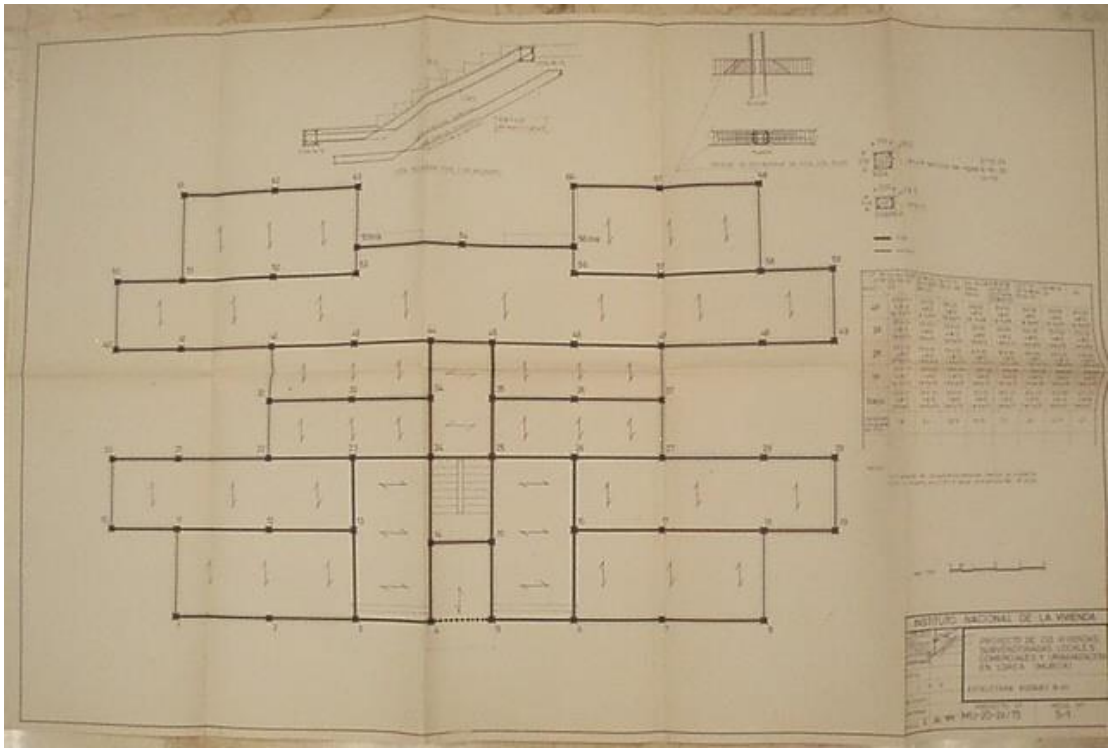

Figura Anexo 12: Plano estructural para niveles 1-4 del bloque 11 de San Fernando (Fuente: Ministerio de la Vivienda, 1973)

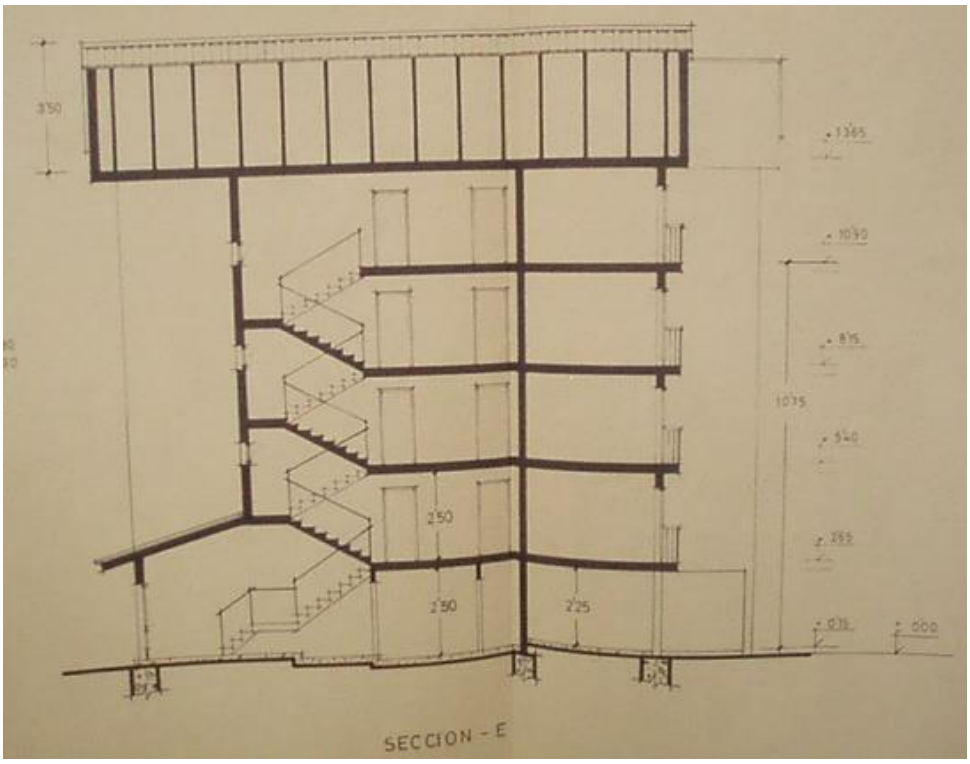

Figura Anexo 13: Plano arquitectónico Vista en Corte Sección "E" del bloque 11 de San Fernando (Fuente: Ministerio de la Vivienda, 1973)

nº de pilar / piso	10-50-19-20 29-59-40 49	53-56-63 66-1-8-61 68-4-5	32-37-21 28-41-48	3-6-23-26 53bis. 56bis.	11-18-51-58 2-7-62-67 22-27-34-35 33-36-42-47	12-17-52 57-13-16-14 15-24-25	43-46-44 45	54
4º	25X25 4 Ø 12 1ø 6a15	25X25 4Ø12 1ø 6a15	25X25 4Ø12 1ø 6a15	25X25 4Ø12 1ø 6a15	25X25 4Ø12 1ø 6a15	25X25 4Ø12 1ø 6a15	25X25 4Ø12 1ø 6a15	25X25 4Ø12 1ø 6a15
3º	25X25 4Ø12 1ø6a15	25X25 4Ø12 1ø6a15	25X25 4Ø12 1ø6a15	25X25 4Ø12 1ø6a15	25X25 4Ø12 1ø6a15	25X25 4Ø12 1ø6a15	25X25 4Ø12 1ø6a15	25X25 4Ø12 1ø6a15
2º	25X25 4Ø12 1ø6a15	25X25 4Ø12 1ø6a15	25X25 4Ø12 1ø6a15	25X25 4Ø12 1ø6a15	25X25 4Ø12 1ø6a15	25X25 4Ø12 1ø6a15	25X25 4Ø12 1ø6a15	25X25 4Ø12 1ø6a15
1º	25X25 4ø12 1ø6a15	25X25 4ø12 1ø6a15	25X25 4ø12 1ø6a15	25X25 4ø12 1ø6a15	25X25 4ø12 1ø6a15	25X25 4ø14 1ø6a18	25X25 4ø14 1ø6a18	25X25 4ø16 1ø6a18
bajo	30X30 4ø12 1ø6a15	30X30 4ø12 1ø6a15	30X30 4ø12 1ø6a15	30X30 4ø12 1ø6a15	30X30 4ø12 1ø6a15	30X30 4ø14 1ø6a15	30X30 4ø14 1ø6a20	30X30 4ø16 1ø6a22
carga en cimientos en Tm	16	24	26'5	30'5	37	40	42'5	47

Figura Anexo 14: Elementos tipo columna del bloque 11 de San Fernando (Fuente: Ministerio de la Vivienda, 1973)

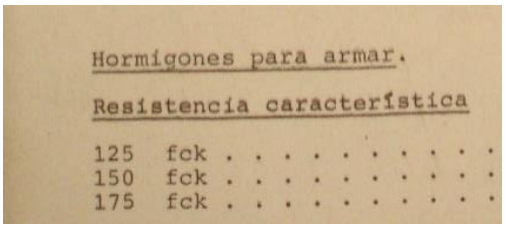

Figura Anexo 15: Resistencia característica de hormigones implementados en el bloque 11 de San Fernando (Fuente: Ministerio de la Vivienda, 1973)

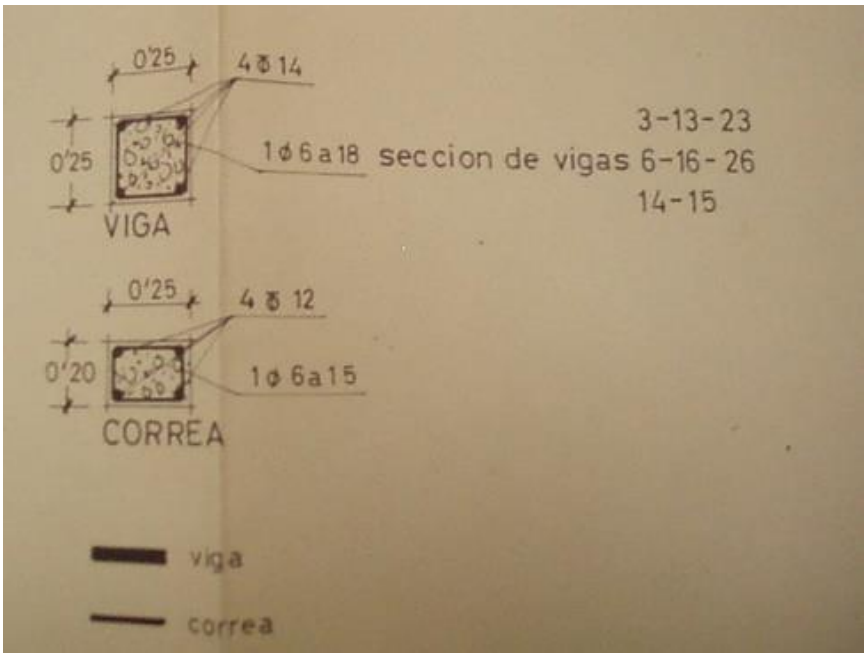

Figura Anexo 16: Detalle de elementos tipo viga-columna implementados en el bloque 11 de San Fernando (Fuente: Ministerio de la Vivienda, 1973)

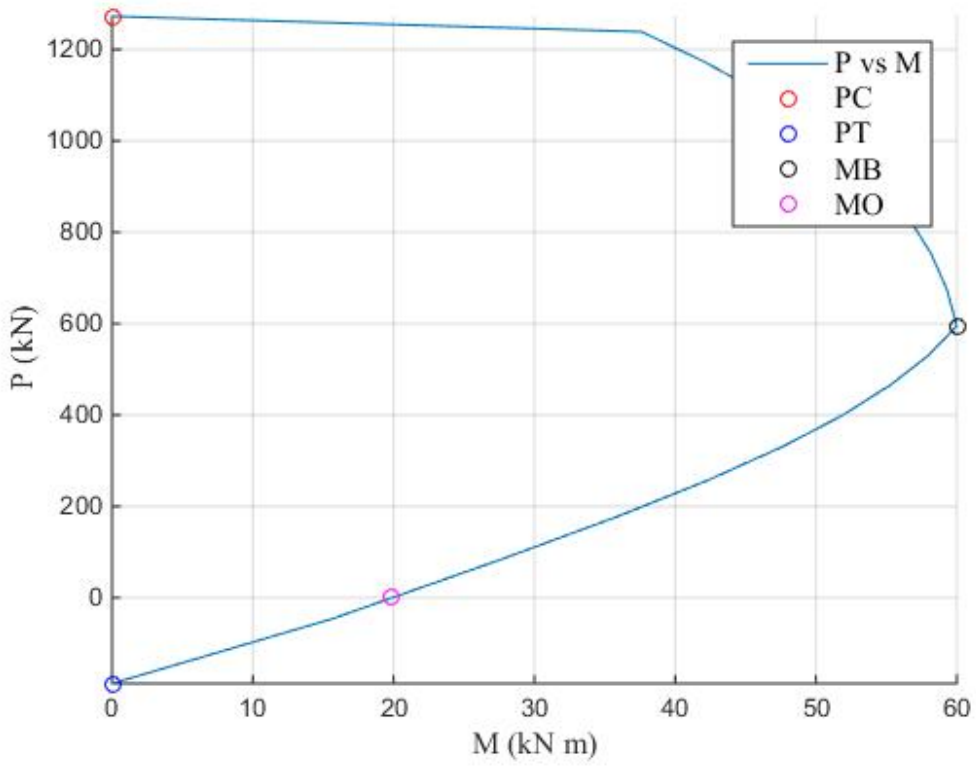

Figura Anexo 17: Diagrama de capacidad P vs Mn para una columna 25cm x 25cm

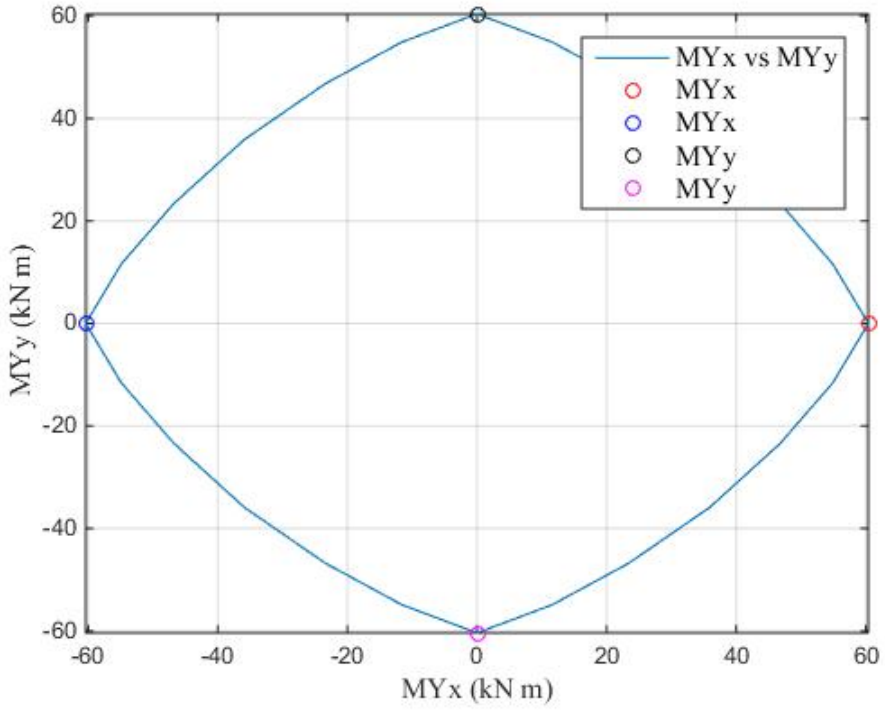

Figura Anexo 18: Diagrama de capacidad Mny vs Mnz en P=594kN para una columna 25cm x 25cm

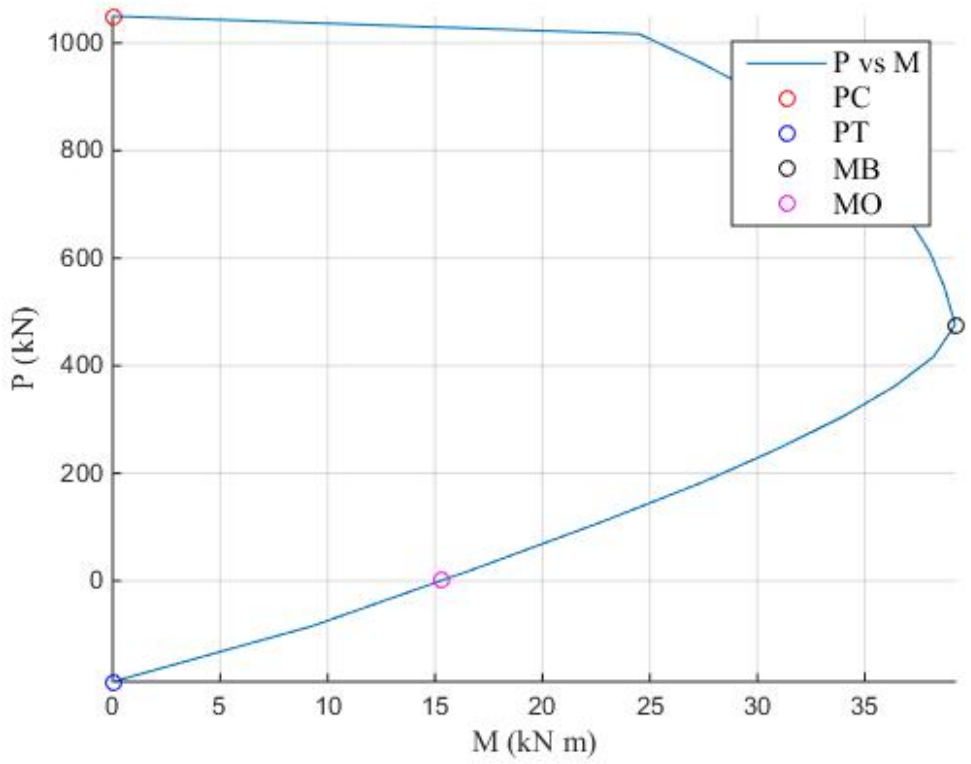

Figura Anexo 19: Diagrama de capacidad P vs Mn para una columna 25cm x 20cm

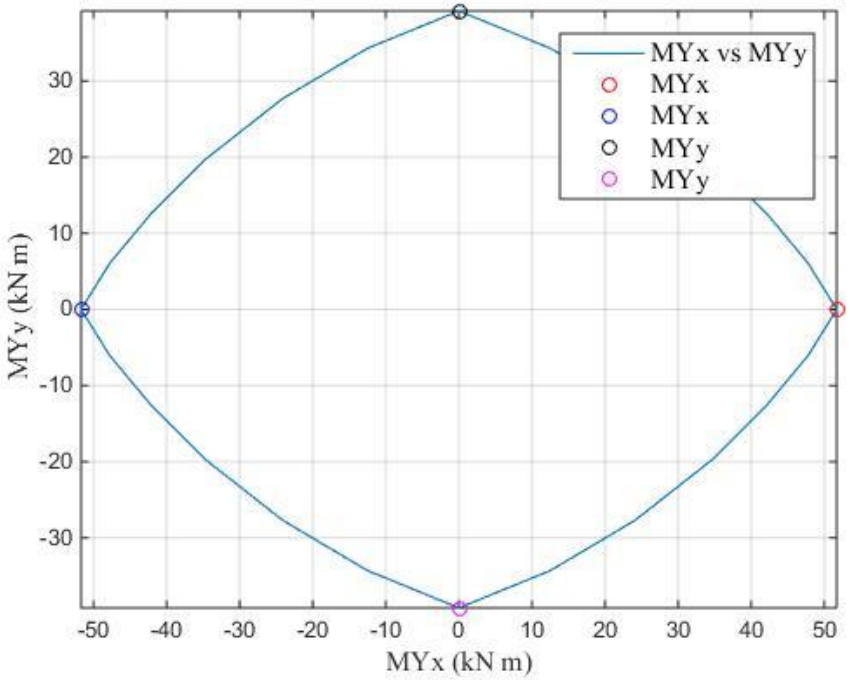

Figura Anexo 20: Diagrama de capacidad Mny vs Mnz en P=475kN para una columna 25cm x 20cm

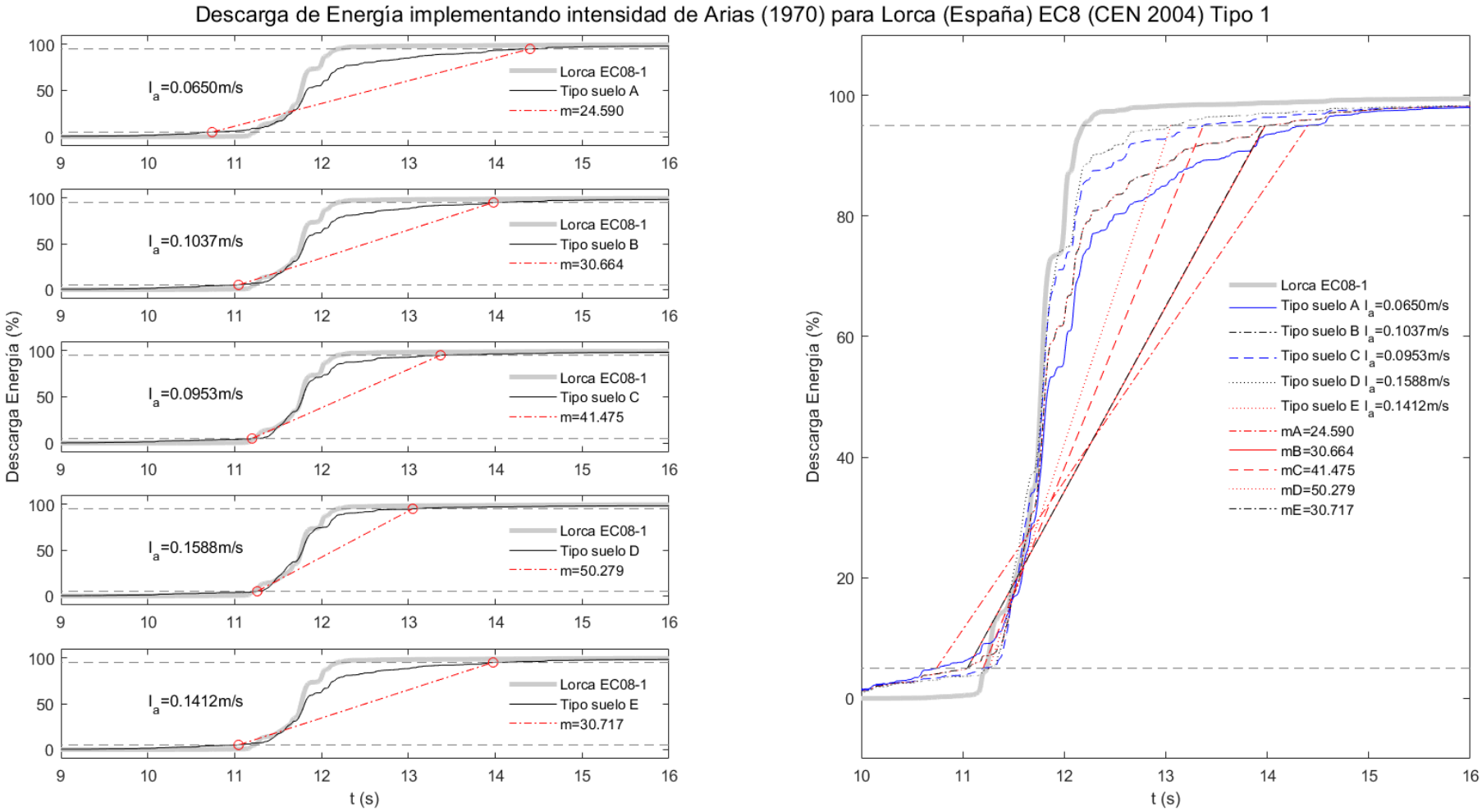

Figura Anexo 21: Comparación de resultados del análisis por intensidad de Arias y duración significativa del 5% al 95% de descarga de energía utilizando el acelerograma de Lorca para el caso EC08-1 y suelos tipo A, B, C, D y E

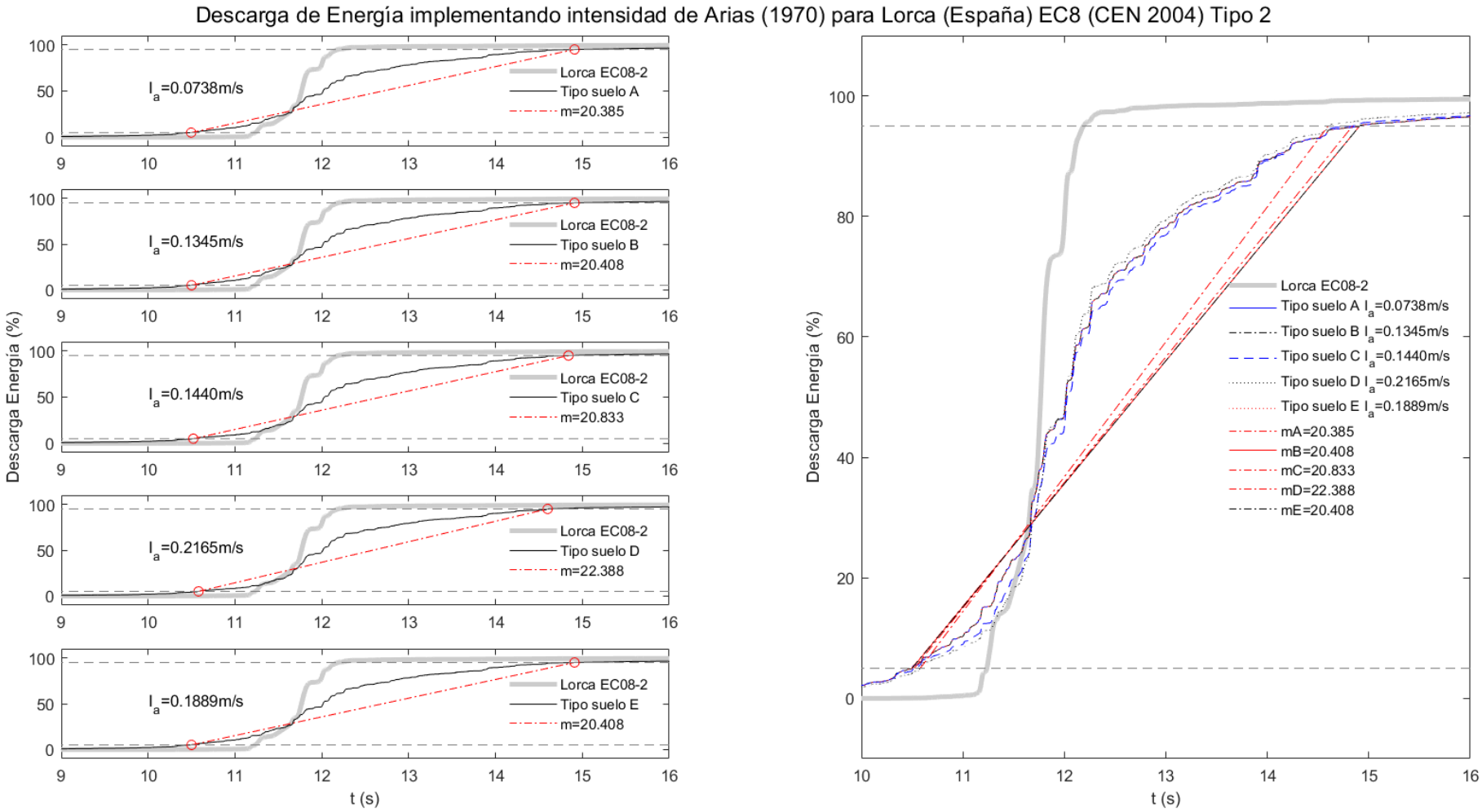

Figura Anexo 22: Comparación de resultados del análisis por intensidad de Arias y duración significativa del 5% al 95% de descarga de energía utilizando el acelerograma de Lorca para el caso EC08-2 y suelos tipo A, B, C, D y E

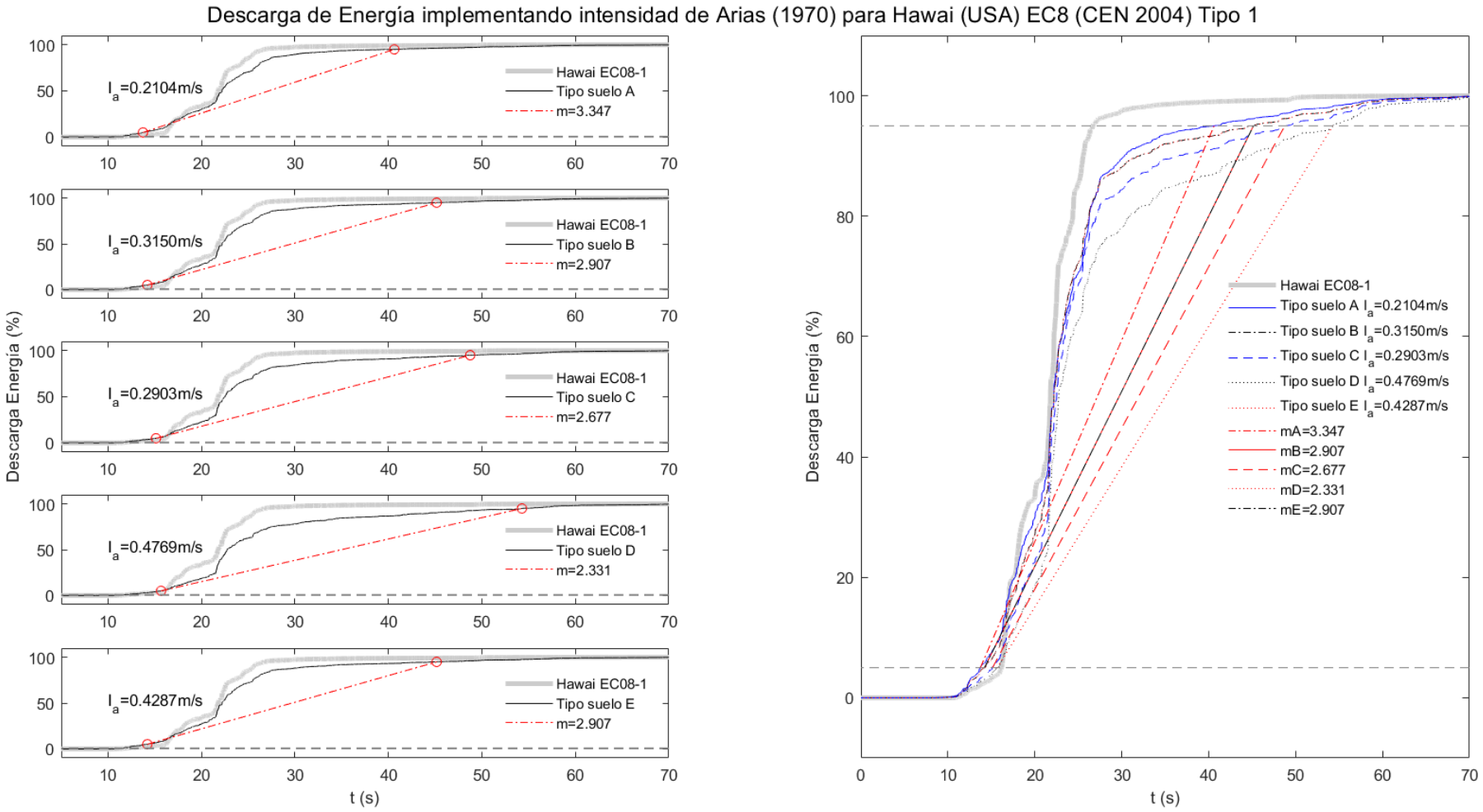

Figura Anexo 23: Comparación de resultados del análisis por intensidad de Arias y duración significativa del 5% al 95% de descarga de energía utilizando el acelerograma de Hawái para el caso EC08-1 y suelos tipo A, B, C, D y E

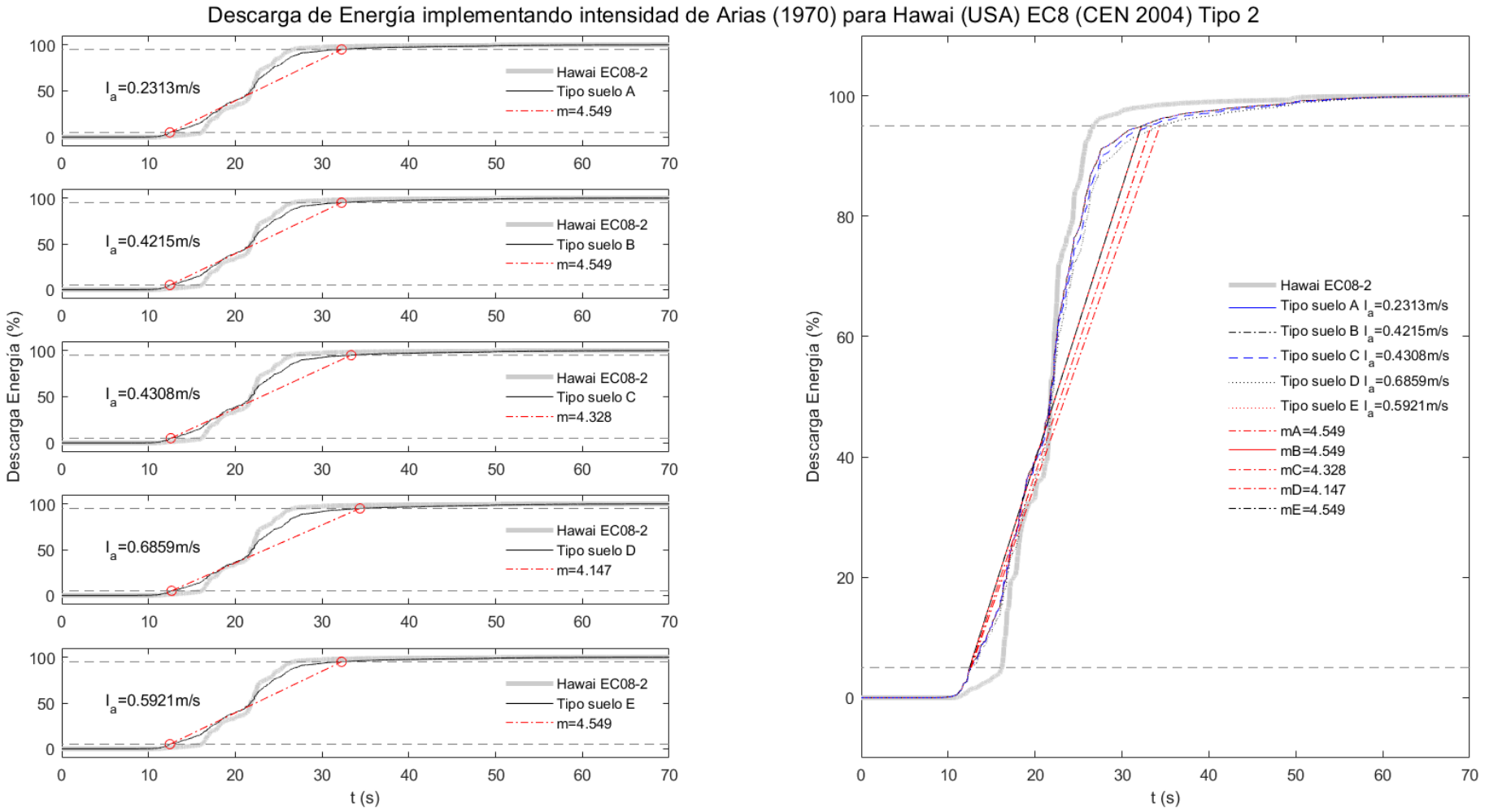

Figura Anexo 24: Comparación de resultados del análisis por intensidad de Arias y duración significativa del 5% al 95% de descarga de energía utilizando el acelerograma de Hawái para el caso EC08-2 y suelos tipo A, B, C, D y E

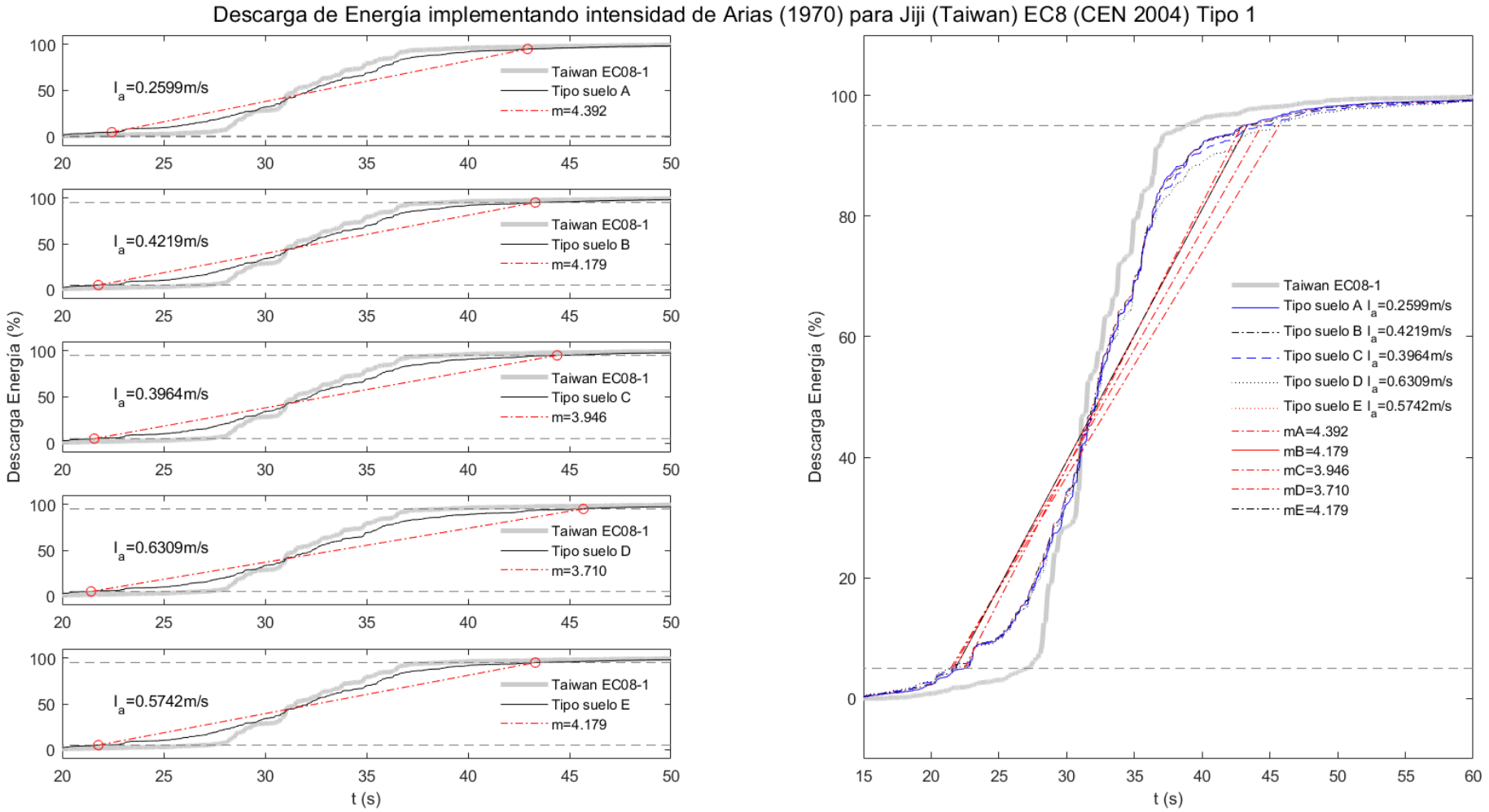

Figura Anexo 25: Comparación de resultados del análisis por intensidad de Arias y duración significativa del 5% al 95% de descarga de energía utilizando el acelerograma de Taiwán para el caso EC08-1 y suelos tipo A, B, C, D y E

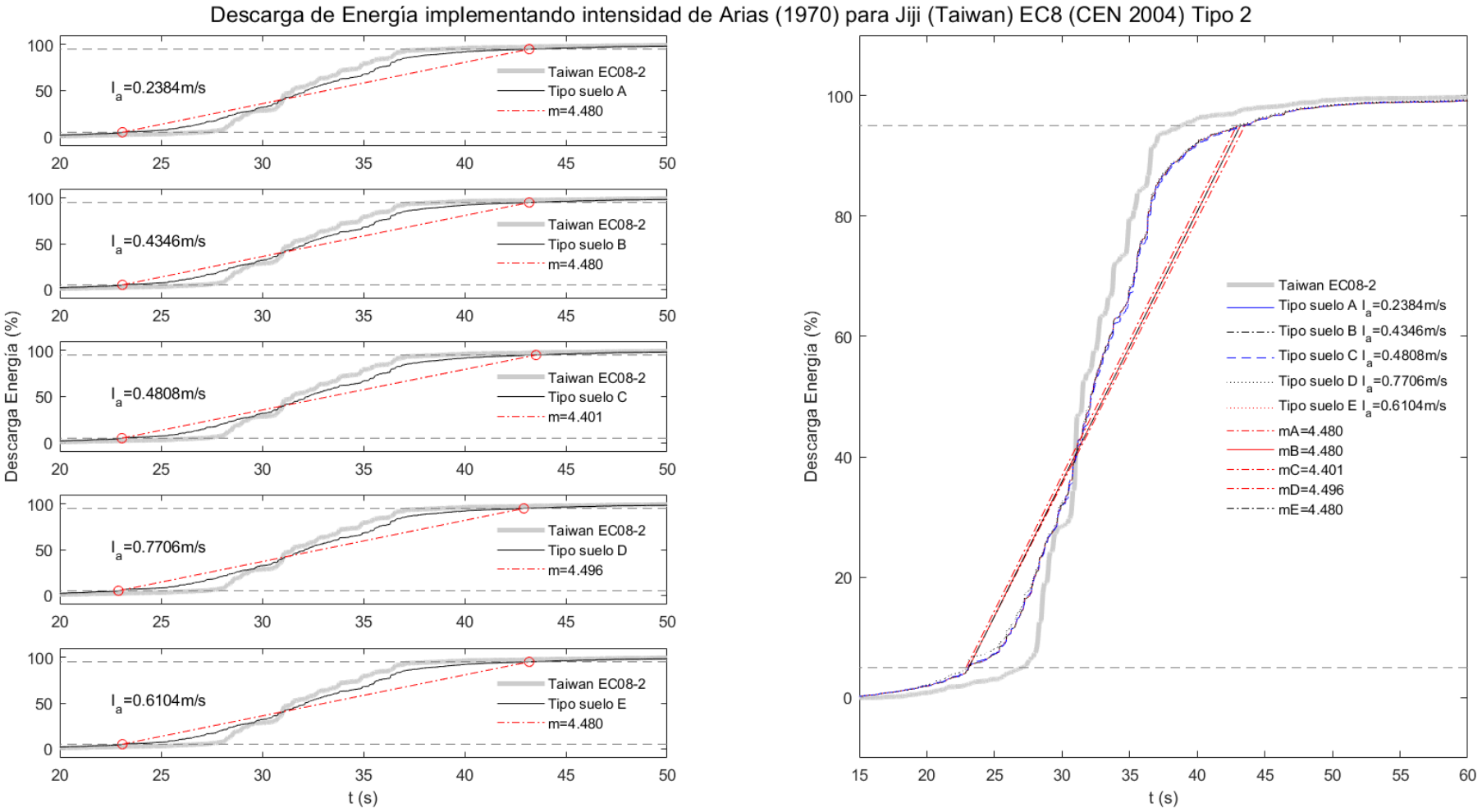

Figura Anexo 26: Comparación de resultados del análisis por intensidad de Arias y duración significativa del 5% al 95% de descarga de energía utilizando el acelerograma de Taiwán para el caso EC08-2 y suelos tipo A, B, C, D y E

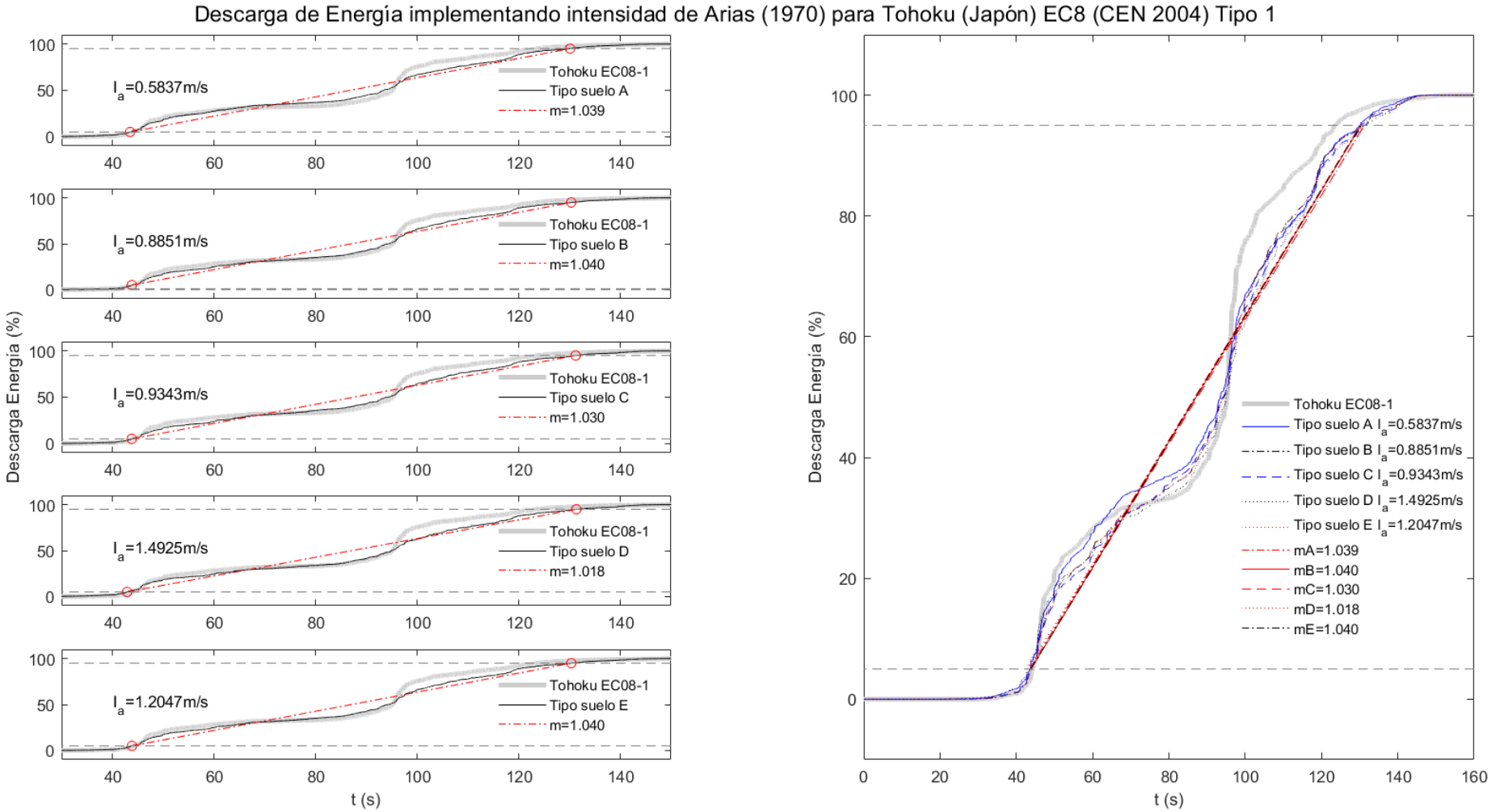

Figura Anexo 27: Comparación de resultados del análisis por intensidad de Arias y duración significativa del 5% al 95% de descarga de energía utilizando el acelerograma de Tohoku para el caso EC08-1 y suelos tipo A, B, C, D y E

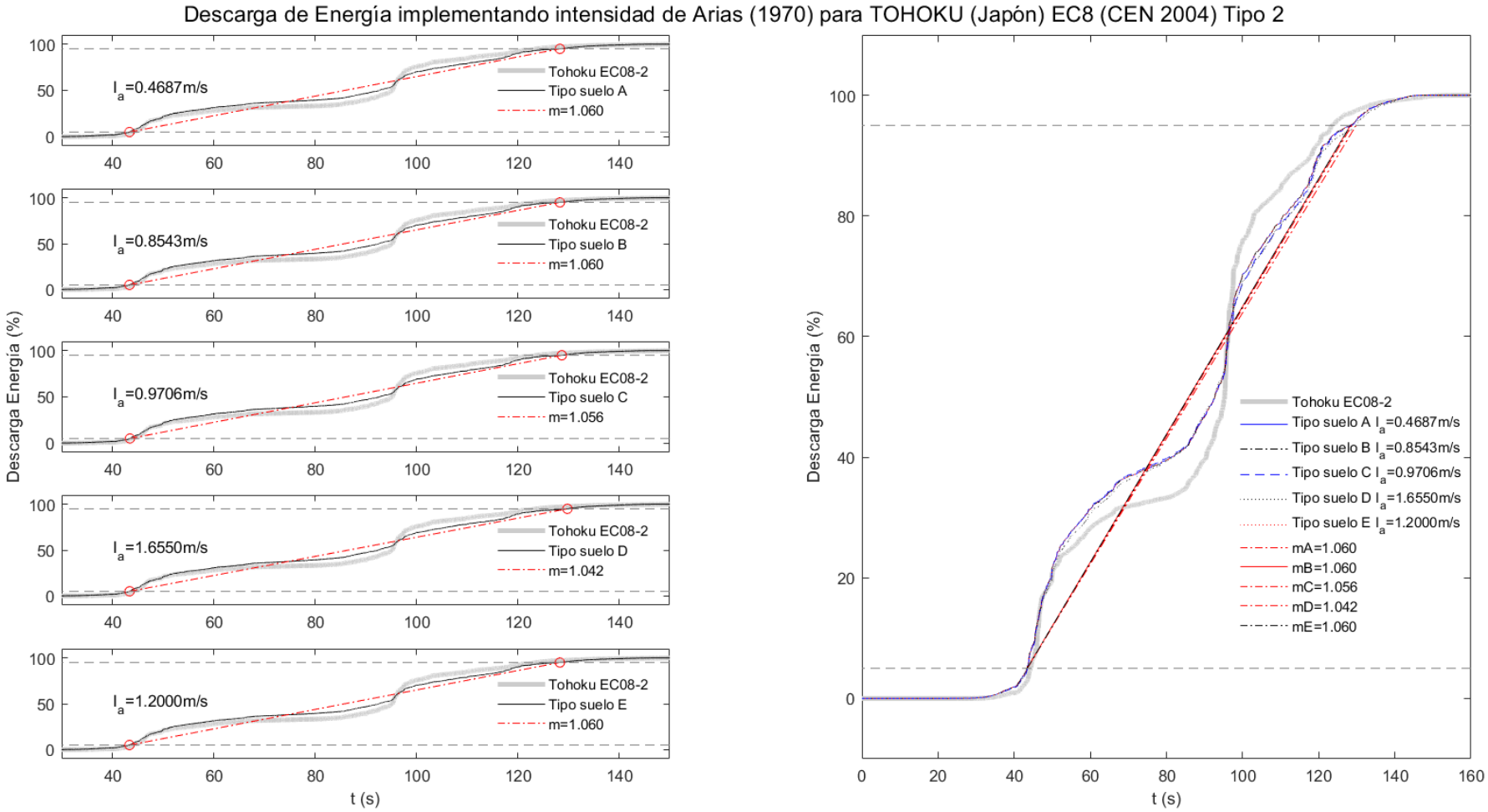

Figura Anexo 28: Comparación de resultados del análisis por intensidad de Arias y duración significativa del 5% al 95% de descarga de energía utilizando el acelerograma de Tohoku para el caso EC08-2 y suelos tipo A, B, C, D y E